





大きくなるにつれて取水口付近の境界面は低下しついには上層水の連行が生じる。その連行の開始する時点での内部フルード数を限界内部フルード数  $F_{rc}$  と定義する。内部フルード数がこの  $F_{rc}$  より大きくなるにつれて上層水の連行は増加する。

この連行率  $m$  を次のように定義する。

$$\left. \begin{aligned} m &= \frac{q_1}{q} \\ &= \frac{\rho_2 - \rho}{\rho_2 - \rho_1} \end{aligned} \right\} \quad (22)$$

ここに、 $q_1$  は全取水量中の上層水取水量、 $q$  は全取水量、 $\rho$  は排除された水の密度。

内部フルード数が大きくなるためには上下層の密度差が一定とした場合、取水流速  $v$  が大となるか、境界層、取水口上端部間距離  $h_s$  が小さくなるか、またはその両者が同時に起こることが考えられる。ここでは単純化するため前2者の条件について取り扱う。

#### (1) 取水流速 $v$ のみが変化する場合

限界条件を越えた内部フルード数  $F_{rs}$  は

$$F_{rs} = \frac{v_s}{\sqrt{\epsilon g h_{sc}}}$$

で与えられる。これと  $F_{rc}$  の比を  $\tau$  とすると

$$\left. \begin{aligned} \tau &= \frac{F_{rs}}{F_{rc}} \\ &= \frac{v_s}{v_c} \end{aligned} \right\} \quad (23)$$

取水量については

$$\left. \begin{aligned} q &= s v_s \\ q_1 &= s \cdot \alpha_1 (v_s - v_c) \end{aligned} \right\} \quad (24)$$

式(23)および式(24)を式(22)に入れると連行率は

$$m = \alpha_1 \left( 1 - \frac{1}{\tau} \right) \quad (25)$$

で表わされる。

#### (2) $h_s$ のみが変化する場合

この場合  $F_{rs}$  は

$$\left. \begin{aligned} F_{rs} &= \frac{v_c}{\sqrt{\epsilon g h_{ss}}} \\ \tau &= \sqrt{\frac{h_{sc}}{h_{ss}}} \end{aligned} \right\} \quad (26)$$

また取水量については

$$\left. \begin{aligned} q &= s \cdot v_c \\ q_1 &= s \cdot v_c \end{aligned} \right\} \quad (27)$$

円形パイプによる水平取水について、上層水の通過断面を図-3のように弦の面積であると考えると、半径1の単位円では

$$S_0 = \theta - (1-x) \sqrt{2x-x^2}$$

また全断面積  $s_0 = \pi$  であるので式(26)及び式(27)より

$$m = \frac{1}{\pi} \{ \cos^{-1}(1-x) - (1-x) \sqrt{2x-x^2} \} \dots (28)$$

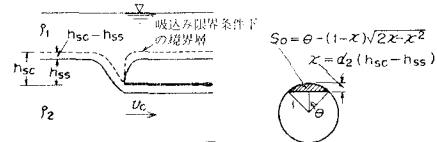


図-3 上層水取水断面説明

式(28)を半径  $\phi/2$  のパイプについて書き直すと

$$\begin{aligned} x &= \frac{1}{\phi/2} \alpha_2 (h_{sc} - h_{ss}) \\ &= 2\alpha_2 \frac{h_{sc}}{\phi} \left( 1 - \frac{h_{ss}}{h_{sc}} \right) \end{aligned}$$

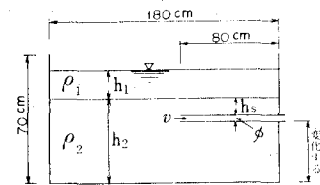
よって

$$m = \frac{1}{\pi} \{ \cos^{-1}(1-2\alpha_2 H_0 y) - 2(1-2\alpha_2 H_0 y) \sqrt{\alpha_2 H_0 y (1-\alpha_2 H_0 y)} \} \dots (29)$$

ここで、 $H_0 = h_{sc}/\phi$ 、 $y = (1-1/\tau^2)$ 。

## 4. 水理模型実験およびその結果

実験は長さ 180 cm × 幅 40 cm × 深さ 70 cm の水槽で行った。実験においては、淡水および食塩水を用いて所



$\phi$	6, 13 (mm)	取水パイプ口径
$\rho_1$	~1.00	上層水の密度
$\rho_2$	1.005, 1.01, 1.03	下層水の密度
$\Delta \rho$	0.005, 0.010, 0.030	上下層の密度差
$h_1$	5, 10 (cm)	上層水の厚さ
$h_2$	20, 50 (cm)	下層水の厚さ
$h_s$	2, 5 (cm)	境界層から取水パイプ上端までの距離
$v$	0~150 (cm/sec)	取水流速 (適宜変化させる)

図-4 実験模式および組合せ

定の成層を作った。所定口径のパイプを、下層塩水槽に設置して取水した。上層淡水の連行の状況は、電導度計による塩分濃度の測定およびウラニン色素による目視観測によって調べた。

実験結果から連行を開始する限界流速  $v_c$  の決定は次のように行なった。境界層からパイプ上端までの距離を用いた内部フルード数  $F_r = v / \sqrt{\epsilon g h_s}$  が増加するにつれて連行率  $m$  は増加する。増加の状況は  $F_r$  が限界値を越えると  $m$  が急激に増加する。この限界  $F_r$  を  $m=1\%$  に対応させ、このときの  $F_r$  を読んで  $v_c$  を算出する。

#### (1) $n$ について

3次元取水における境界層の形状を代表する実験係数  $n$  は一定でなく、主に  $\epsilon$  および  $h_s/\phi$  に関係する。その関係を示したのが図-5で  $n$  は  $\epsilon$  が大きいほど大きくな

り、また  $h_2/\phi$  が大きくなるほど小さくなる傾向がある。図中の曲線群は、実験結果を統計的に処理して得たものでこれらの関係を示している。

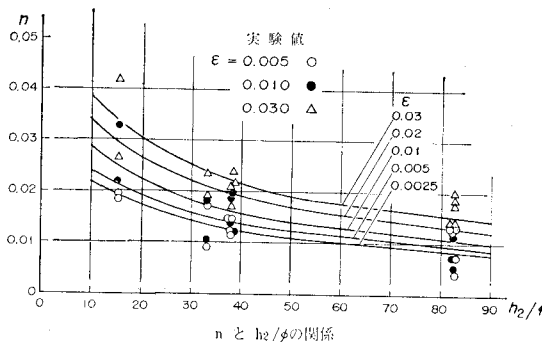


図-5  $n$  と  $h_2/\phi$  の関係

以上より  $n$  が得られれば、式(21)によって示される3次元選択取水の限界水理量が計算できる。

## (2) $\alpha_2$ について

ポンプによって定量取水する場合、内部フルード数が限界値を越えて大きくなるのは取水によって境界層・取水口天端間距離  $h_{ss}$  が小さくなることによる。この場合  $h_{ss}$  の限界値との差 ( $h_{sc} - h_{ss}$ ) が上層水通水断面に関係する程度を示す係数  $\alpha_2$  は、実験結果を  $m$  と  $\tau$  の関係を示す式(29)に入れて計算できる。図-6 はその一例を

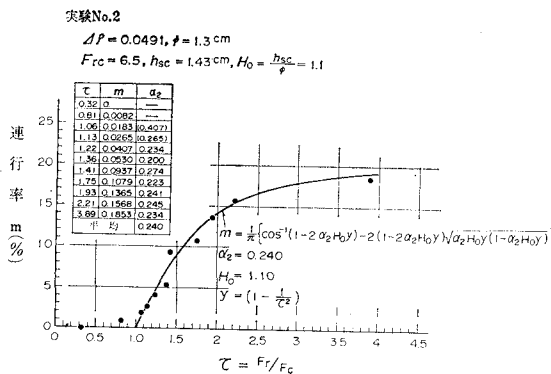


図-6  $\alpha_2$  の計算および式へのあてはめの一例

示すものであるが、このように求めた  $\alpha_2$  は  $\tau=1.0$  付近ではばらつくが  $\tau$  がある程度大きくなるとかなりの範囲にわたって一定値に近づく。図中の曲線はこのように求めた  $\alpha_2$  の平均値を式(29)に入れた計算式であるが実験値のバラツキが小さいことがわかるであろう。このことは上層水連行において取水パイプ内の上層水断面は弦の面積で示されることを示している。

また、この  $\alpha_2$  に及ぼす要因として  $H_0 (= h_{sc}/\phi)$  と  $F_{rc}$  とが考えられるが、この関係を示すのが図-7 であ

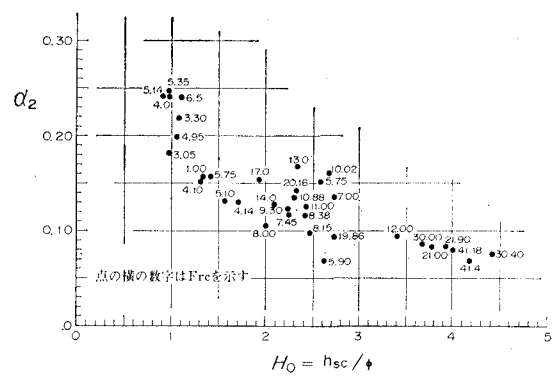


図-7  $\alpha_2$  と  $h_{sc}/\phi$  との関係

る。図によると  $H_0$  が大きいほど  $\alpha_2$  は小さくなる。つまり連行開始時の  $h_{ss}$  の値の如何によって  $(h_{sc}-h_{ss})$  の連行量に及ぼす影響は異なり、 $h_{sc}$  が小さいほどその影響が大きいことを表わしている。なお、限界フルード数とは直接的な関係は認められない。

## 5. 結 言

以上、密度界面の形状は連行時には一種の内部段波であると考えて底層水の選択取水について検討して次のような結果を得た。

1) 2次元底層取水の場合、上層水連行を開始する限界取水量は式(8)'で表わされる。

2) 3次元底層取水では、内部段波の形状および吸込口付近での流速分布が限界条件に影響するが、ここでは前者を実験における界面の形状観測より円として、また後者は一様であると仮定して式(21)を得た。なお実験係数  $n$  は図-5 に示すようである。

3) パイプによる定量取水の場合の上層水連行率  $m$  と  $\tau = F_{rs}/F_{rc}$  の関係は式(29)で与えられる。またこの場合の係数  $\alpha_2$  は図-7 に示すようである。

この解析結果は閉鎖性内湾において起こっている、底層悪水の効率的排除に用いられる。漁場環境の改善工法の一つとして重要な課題であり、福井県日向湖、京都府久美浜その他の湾においてその実用化の検討が行なわれている。

## 参 考 文 献

- 1) 福井・中村・白石・佐々木：堤防の津波対策に関する水理学的研究、農業土木試験場報告第8号、1963, 2.
- 2) Huber, D. G.: Irrotational motion of two fluid strata towards a line sink, Proc. A. S. C. E., Vol. 86, No. EM 4, 1960.